

ΑΡΙΣΤΟΤΕΛΕΙΟ ΠΑΝΕΠΙΣΤΗΜΙΟ ΘΕΣΣΑΛΟΝΙΚΗΣ  
ΤΗΜΜΥ ΤΟΜΕΑΣ ΗΛΕΚΤΡΟΝΙΚΗΣ ΚΑΙ ΥΠΟΛΟΓΙΣΤΩΝ



# ΤΕΧΝΙΚΕΣ ΒΕΛΤΙΣΤΟΠΟΙΗΣΗΣ

## 1<sup>Η</sup> ΕΡΓΑΣΙΑ

Ιωάννης Δεϊρμεντζόγλου 10015

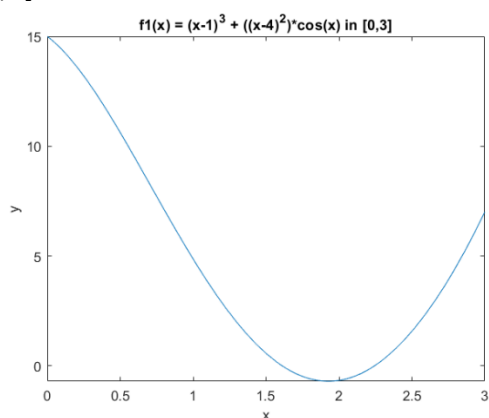
AEM 10015 Email : deirmentz@ece.auth.gr

## 1. Task 1 – Μέθοδος της Διχοτόμου.

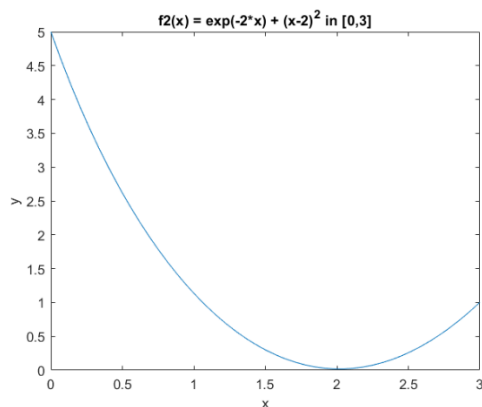
Στην μέθοδο αυτή υπάρχουν δύο παράμετροι, το  $\epsilon$  (απόσταση από την διχοτόμο) και το  $I$  (το εύρος του διαστήματος αναζήτησης).

Στο πρώτο ερώτημα ζητείται να υλοποιηθεί στο MATLAB ο αλγόριθμος για την μέθοδο της διχοτόμου και να εφαρμοστεί στις 3 συναρτήσεις. Ο κώδικας στο σύνολο του περιέχεται στα αρχεία **functionSelector.m** **BisectionMethod.m** και **Task1.m**.

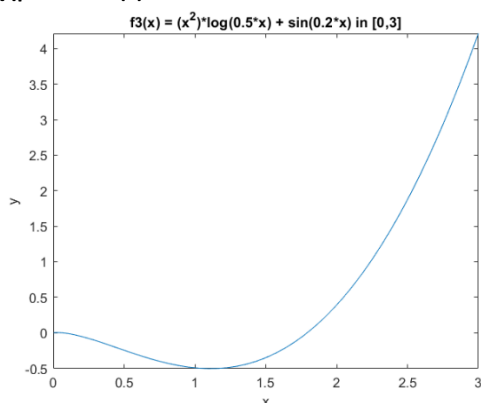
Πριν τις γραφικές παραστάσεις που ζητούνται και τις παρατηρήσεις πάνω σε αυτές παρατίθενται τα plots για κάθε μια από τις 3 συναρτήσεις της εργασίας στο διάστημα  $[0,3]$ .



Σχήμα 1.1 :  $f_1(x)$



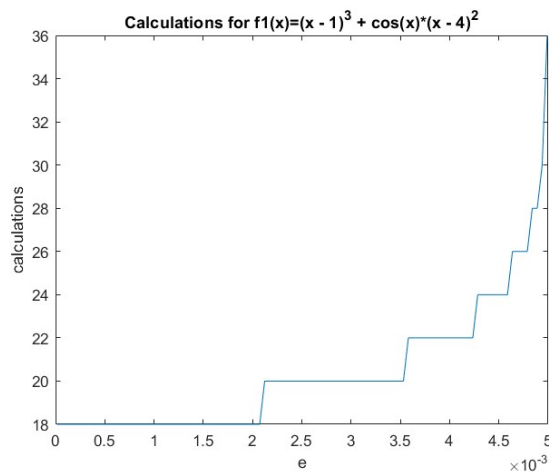
Σχήμα 1.2 :  $f_2(x)$



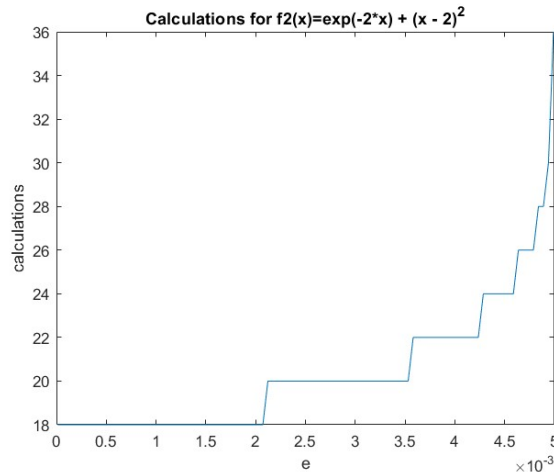
Σχήμα 1.3 :  $f_3(x)$

Αρχικά , διατηρώντας σταθερό εύρος αναζήτησης  $l = 0.001$  γίνεται μελέτη κατά την μεταβολή της σταθεράς  $\epsilon > 0$ , για τιμές από  $10^{-5}$  έως  $0.0050$ . Η σταθερά  $\epsilon$  μεταβάλλεται έως την τιμή  $l/2 - 10^{-5} = 0.0050$  , καθώς πρέπει να είναι  $\epsilon < l/2$ , ειδάλλως η μέθοδος δεν συγκλίνει.

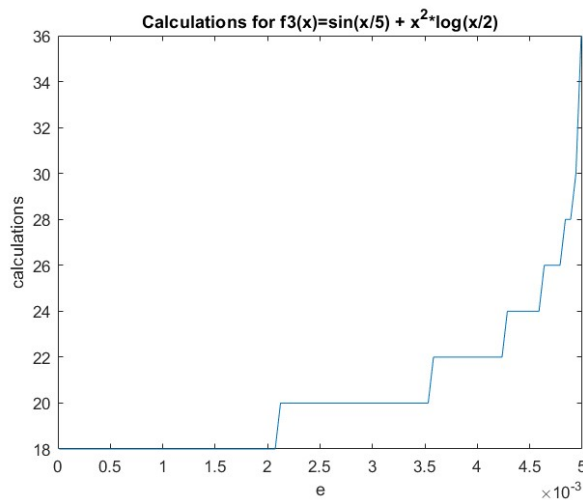
Ακολουθεί από μία γραφική παράσταση από τις τιμές που προκύπτουν από τους υπολογισμούς των 3 αντικειμενικών συναρτήσεων.



Σχήμα 1.4 : Μεταβολή υπολογισμών αντικειμενικής συνάρτησης για την  $f1(x)$ —  $e$  =variable ,  $l=0.001$



Σχήμα 1.5 : Μεταβολή υπολογισμών αντικειμενικής συνάρτησης για την  $f2(x)$ —  $e$  =variable ,  $l=0.001$



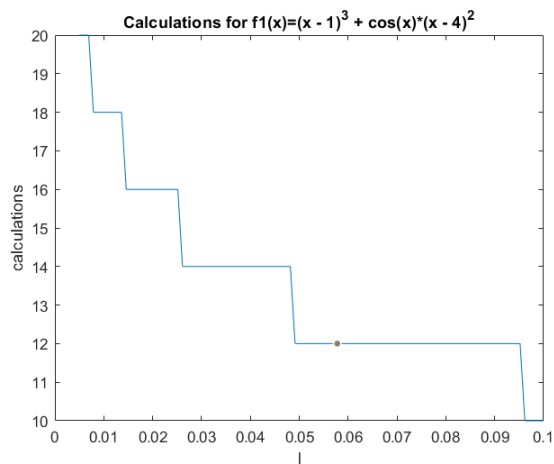
Σχήμα 1.6 : Μεταβολή υπολογισμών αντικειμενικής συνάρτησης για την  $f_1(x)$ —  $e$ =variable ,  $l=0.001$

### Παρατηρήσεις

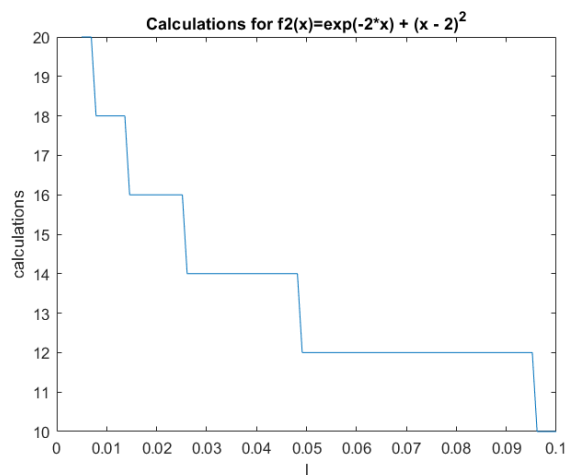
- Η γραφική παράσταση είναι ίδια και για τις τρεις συναρτήσεις Αυτό έχει νόημα, καθώς και στις τρεις περιπτώσεις έχουμε ίδιες παραμέτρους που επηρεάζουν τους υπολογισμούς της αντικειμενικής συνάρτησης ( $l$  ,  $e$  και διάστημα αναζήτησης  $[0,3]$  ).
- Όπως βλέπουμε από την γραφική παράσταση όσο αυξάνεται το  $e$ , τόσο αυξάνονται και οι κλήσεις της εκάστοτε συνάρτησης  $f(x)$ . Αυτό συμβαίνει γιατί με την αύξηση της σταθεράς  $e$ , τα  $x_1(k)$  και  $x_2(k)$  υπολογίζονται πιο μακριά από τη διχοτόμο του διαστήματος  $[a(k),b(k)]$  και άρα κατά συνέπεια πιο κοντά στα άκρα του, με αποτέλεσμα το διάστημα  $[a(k+1),b(k+1)]$  που προκύπτει μετά από κάθε επανάληψη  $k$  να είναι μεγαλύτερο. Έτσι, χρειάζονται παραπάνω βήματα του αλγορίθμου για να φτάσουμε στο επιθυμητό εύρος διαστήματος  $l$ , άρα και περισσότερες κλήσεις της εκάστοτε συνάρτησης  $f(x)$ .

Στην συνέχεια , κρατώντας σταθερό το  $\epsilon = 0.001$ , μελετάμε το πόσες φορές υπολογίζεται τιμή της συνάρτησης  $f$  για διάφορες τιμές του τελικού εύρους διαστήματος  $l$  . Το τελικό εύρος διαστήματος  $l$  μεταβάλλεται **από 0.005 έως 0.1** καθώς για  $e = 0.001$  θα πρέπει  $l > 0.002$  ώστε να ικανοποιείται η συνθήκη  $l > 2e$  .

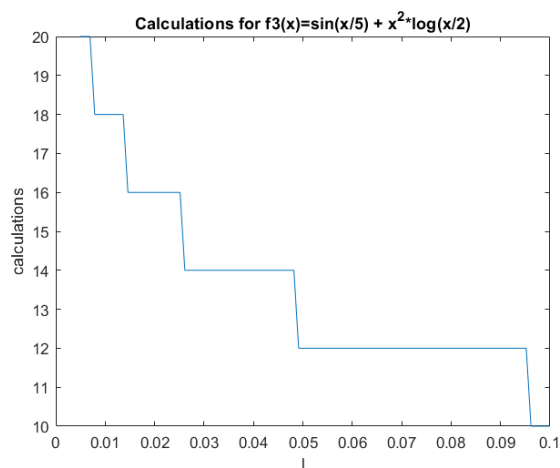
Ακολουθεί από μία γραφική παράσταση από τις τιμές που προκύπτουν από τους υπολογισμούς των 3 αντικειμενικών συναρτήσεων.



Σχήμα 1.7 : Μεταβολή υπολογισμών αντικειμενικής συνάρτησης για την  $f1(x)$ —  $I$ =variable ,  $e=0.001$



Σχήμα 1.8 : Μεταβολή υπολογισμών αντικειμενικής συνάρτησης για την  $f2(x)$ —  $I$ =variable ,  $e=0.001$



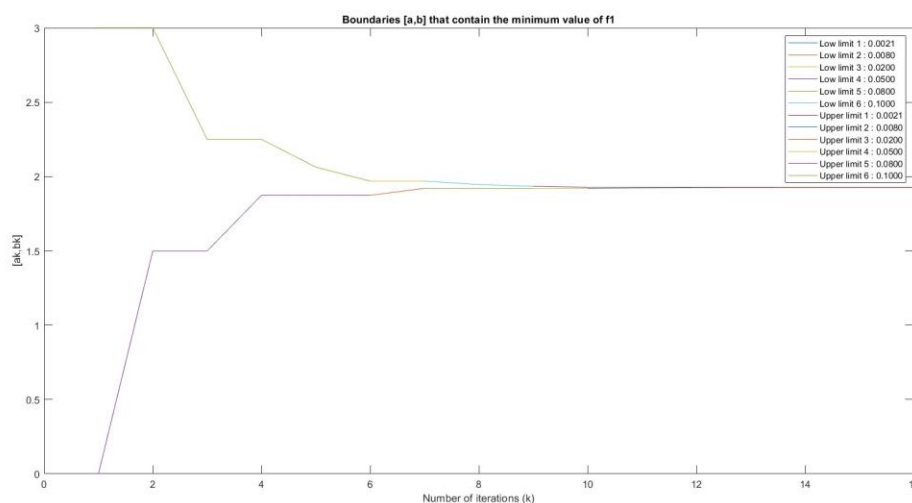
Σχήμα 1.9 : Μεταβολή υπολογισμών αντικειμενικής συνάρτησης για την  $f3(x)$ —  $I$ =variable ,  $e=0.001$

## Παρατηρήσεις

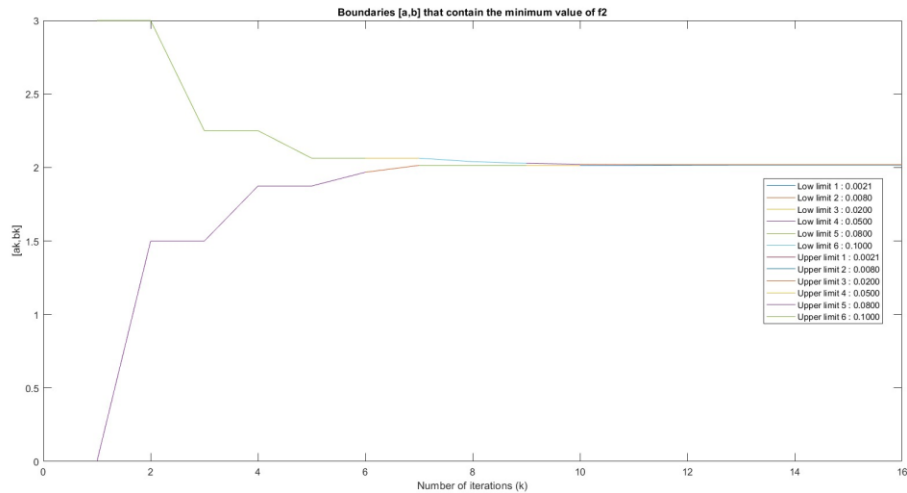
- Η γραφική παράσταση είναι ίδια και για τις τρεις συναρτήσεις Αυτό έχει νόημα, καθώς και στις τρεις περιπτώσεις έχουμε ίδιες παραμέτρους που επηρεάζουν τους υπολογισμούς της αντικειμενικής συνάρτησης ( $I$ ,  $e$  και διάστημα αναζήτησης  $[0,3]$ ).
- Από τις γραφικές παράσταση έχουμε πως όσο αυξάνεται το τελικό εύρος διαστήματος  $I$ , τόσο μειώνονται οι κλήσεις της εκάστοτε συνάρτησης  $f(x)$ . Αυτό συμβαίνει επειδή όσο αυξάνουμε το τελικό εύρος διαστήματος  $I$ , τόσα λιγότερα βήματα – διαμερίσεις θα χρειαστούν να γίνουν στο αρχικό διάστημα αναζήτησης ώστε να φτάσουμε σε λύση επιθυμητής ακρίβειας. Ως εκ τούτου, θα έχουμε και λιγότερες κλήσεις της συνάρτησης.

Τέλος ζητήθηκε για διάφορα  $I$  να αποτυπωθούν τα ζεύγη  $[a_k, b_k]$  συναρτήσει του δείκτη  $k$ . Οι τιμές  $I$  που επιλέχθηκαν ήταν οι εξής : 0.0021, 0.008, 0.02, 0.05, 0.08, 0.1 ενώ το  $e$  παρέμεινε σταθερό 0.001 .

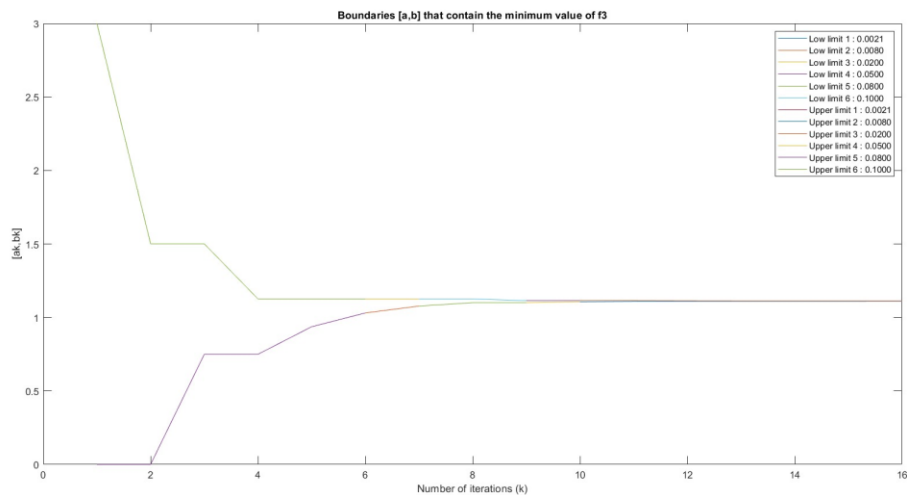
Ακολουθούν τρία διαγράμματα, ένα για κάθε συνάρτηση, που παρουσιάζουν τις γραφικές παραστάσεις  $(k, a_k)$  και  $(k, b_k)$ .



Σχήμα 1.10 : Άκρα του διαστήματος  $[a_k, b_k]$  συναρτήσει του δείκτη βήματος  $k$  για την  $f1(x)$ —  $I$ =variable ,  $e=0.001$



Σχήμα 1.11 : Άκρα του διαστήματος  $[a_k, b_k]$  συναρτήσει του δείκτη βήματος  $k$  για την  $f2(x)$ —  $I = \text{variable}$ ,  $e=0.001$



Σχήμα 1.12 : Άκρα του διαστήματος  $[a_k, b_k]$  συναρτήσει του δείκτη βήματος  $k$  για την  $f3(x)$ —  $I = \text{variable}$ ,  $e=0.001$

Όπως βλέπουμε στα παραπάνω διαγράμματα, και όπως λογικά περιμέναμε, όσο παραπάνω μειώνεται το εύρος του τελικού διαστήματος  $[a(k), b(k)]$ , χρειάζονται παραπάνω βήματα του αλγορίθμου για να το φτάσουμε. Μετά, από έναν αριθμό επαναλήψεων το διάστημα αυτό μικραίνει κατά πολύ και η μεταβολή δεν διακρίνεται με γυμνό μάτι.

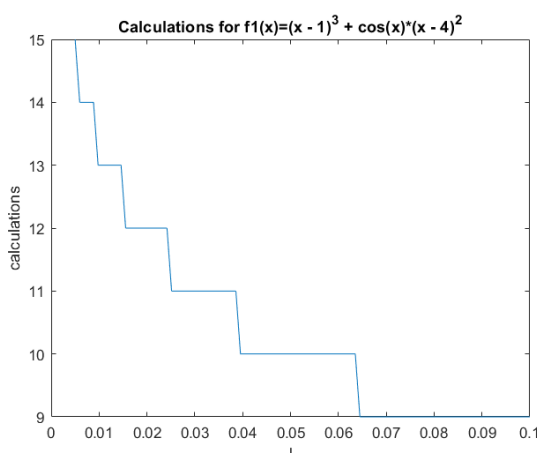
## 2. Task 2 – Μέθοδος Χρυσού Τομέα.

Στην μέθοδο αυτή υπάρχουν μια παράμετρος το  $I$  (το εύρος του διαστήματος αναζήτησης, δεν υπάρχει το  $e$ ).

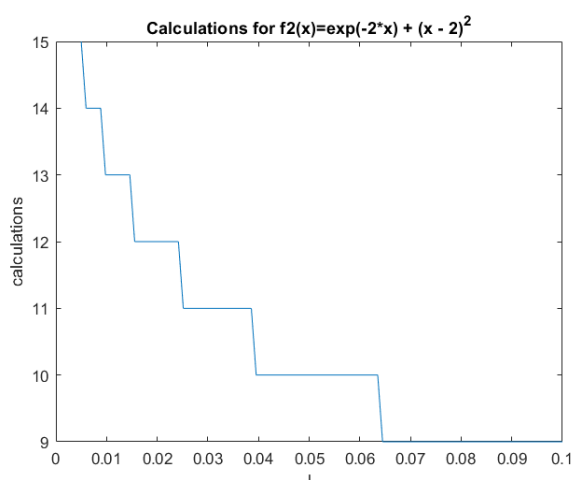
Στο πρώτο ερώτημα ζητείται να υλοποιηθεί στο MATLAB ο αλγόριθμος για την μέθοδο του χρυσού τομέα και να εφαρμοστεί στις 3 συναρτήσεις. Ο κώδικας στο σύνολο του περιέχεται στα αρχεία **functionSelector.m** **goldenRatioMethod.m** και **Task2.m**.

Αρχικά, μελετάται ο αριθμός των υπολογισμών της αντικειμενικής συνάρτησης  $f$  για διάφορες τιμές του τελικού εύρους διαστήματος  $I$ . Το τελικό εύρος διαστήματος  $I$  μεταβάλλεται από 0.001 μέχρι 0.1. Αυτό γίνεται και για τις 3 συναρτήσεις της εκφώνησης.

Ακολουθεί από μία γραφική παράσταση από τις τιμές που προκύπτουν από τους υπολογισμούς των 3 αντικειμενικών συναρτήσεων.

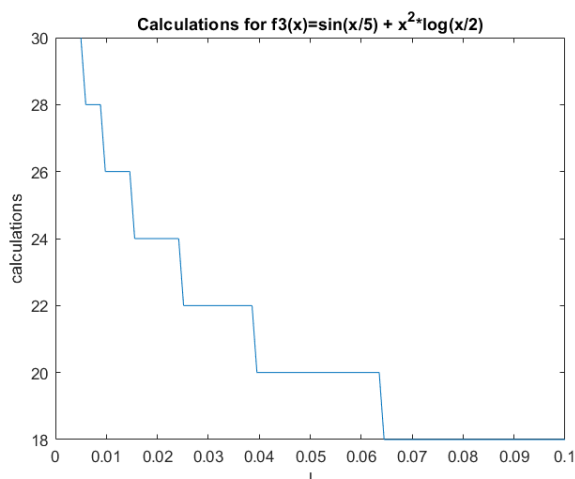


Σχήμα 2.1 : Μεταβολή υπολογισμών αντικειμενικής συνάρτησης για την  $f1(x)$ —  $I$ =variable



Σχήμα 2.2 : Μεταβολή υπολογισμών αντικειμενικής συνάρτησης για την  $f2(x)$ —  $I$ =variable





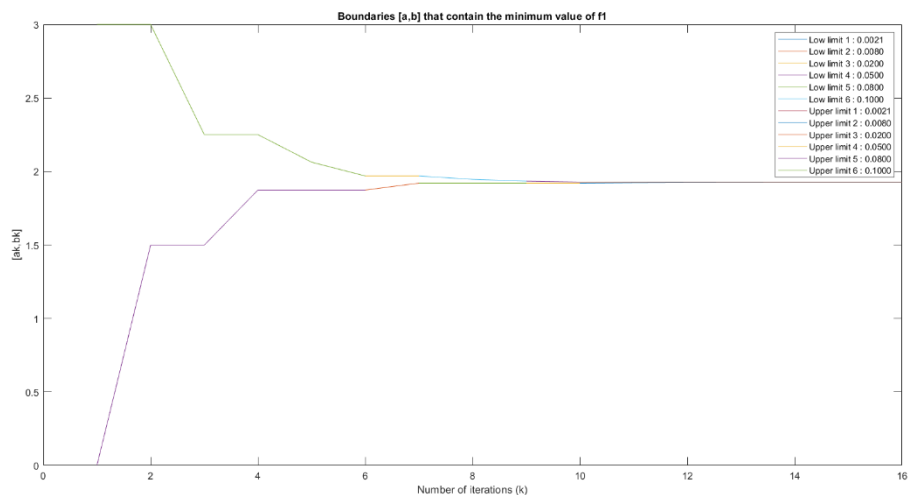
Σχήμα 2.3 : Μεταβολή υπολογισμών αντικειμενικής συνάρτησης για την  $f_3(x)$  —  $I = \text{variable}$

### Παρατηρήσεις

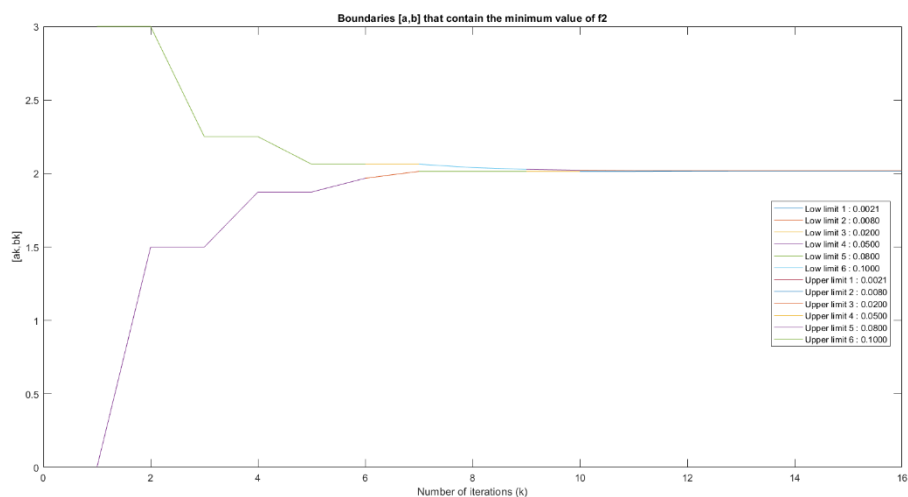
- Η γραφική παράσταση είναι ίδια και για τις τρεις συναρτήσεις . Αυτό έχει νόημα, καθώς και στις τρεις περιπτώσεις έχουμε ίδιες παραμέτρους που επηρεάζουν τους υπολογισμούς της αντικειμενικής συνάρτησης ( $I$  και διάστημα αναζήτησης  $[0,3]$  ).
- Από τις γραφικές παραστάσεις παρατηρούμε πως όσο αυξάνεται το τελικό εύρος διαστήματος  $I$  , τόσο μειώνονται οι κλήσεις της εκάστοτε συνάρτησης  $f(x)$ . Αυτό συμβαίνει επειδή όσο αυξάνουμε το τελικό εύρος διαστήματος  $I$ , τόσα λιγότερα βήματα – διαμερίσεις θα χρειαστούν να γίνουν στο αρχικό διάστημα αναζήτησης ώστε να φτάσουμε σε λύση επιθυμητής ακρίβειας. Ως εκ τούτου, θα έχουμε και λιγότερες κλήσεις της συνάρτησης.

Τέλος ζητήθηκε για διάφορα  $I$  να αποτυπωθούν τα ζεύγη  $[ak, bk]$  συναρτήσει του δείκτη  $k$ . Οι τιμές  $I$  που επιλέχθηκαν ήταν οι εξής : 0.0021, 0.008, 0.02, 0.05, 0.08, 0.1 ενώ το  $e$  παρέμεινε σταθερό 0.001 .

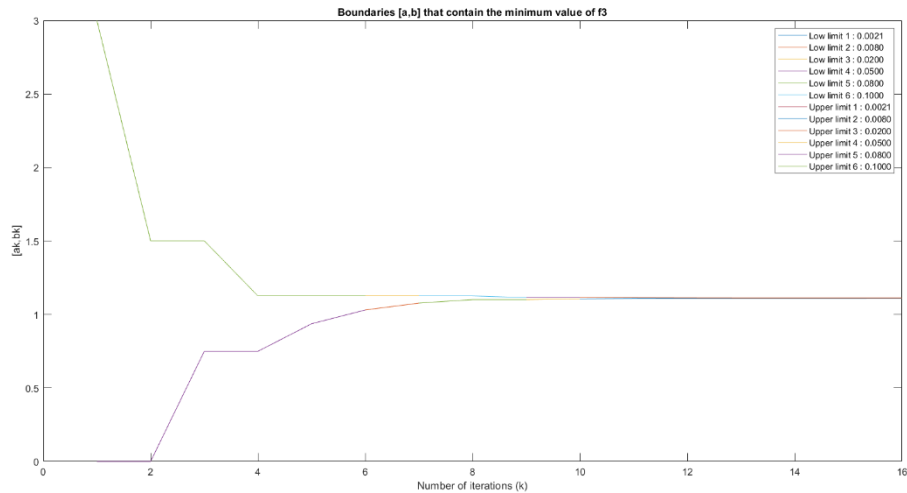
Ακολουθούν τρία διαγράμματα, ένα για κάθε συνάρτηση, που παρουσιάζουν τις γραφικές παραστάσεις  $(k, ak)$  και  $(k, bk)$  .



Σχήμα 2.4 : Άκρα του διαστήματος  $[a_k, b_k]$  συναρτήσει του δείκτη βήματος  $k$  για την  $f_1(x)$ — various values for  $l$



Σχήμα 2.5 : Άκρα του διαστήματος  $[a_k, b_k]$  συναρτήσει του δείκτη βήματος  $k$  για την  $f_2(x)$ — various values for  $l$



Σχήμα 2.6 : Άκρα του διαστήματος  $[a_k, b_k]$  συναρτήσει του δείκτη βήματος  $k$  για την  $f_3(x)$ — various values for  $l$

Όπως βλέπουμε στα παραπάνω διαγράμματα, και όπως λογικά περιμέναμε, όσο παραπάνω μειώνεται το εύρος του τελικού διαστήματος  $[a(k), b(k)]$ , χρειάζονται παραπάνω βήματα του αλγορίθμου για να το φτάσουμε. Μετά, από έναν αριθμό επαναλήψεων το διάστημα αυτό μικραίνει κατά πολύ και η μεταβολή δεν διακρίνεται με γυμνό μάτι.

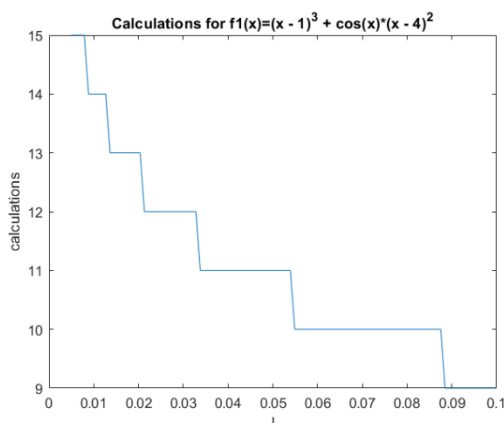
### 3. Task 3 – Μέθοδος Fibonacci.

Στην μέθοδο αυτή υπάρχουν μια παράμετρος το  $I$  (το εύρος του διαστήματος αναζήτησης, δεν υπάρχει το  $e$ ).

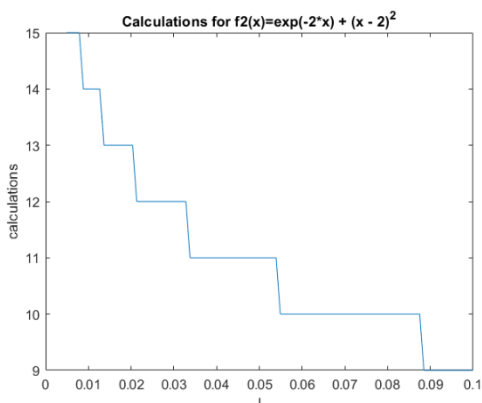
Στο πρώτο ερώτημα ζητείται να υλοποιηθεί στο MATLAB ο αλγόριθμος για την μέθοδο του χρυσού τομέα και να εφαρμοστεί στις 3 συναρτήσεις. Ο κώδικας στο σύνολο του περιέχεται στα αρχεία **functionSelector.m** **fibonacciMethod.m** και **Task3.m**.

Αρχικά, μελετάται ο αριθμός των υπολογισμών της αντικειμενικής συνάρτησης  $f$  για διάφορες τιμές του τελικού εύρους διαστήματος  $I$ . Το τελικό εύρος διαστήματος  $I$  μεταβάλλεται από 0.005 μέχρι 0.1. Αυτό γίνεται και για τις 3 συναρτήσεις της εκφώνησης.

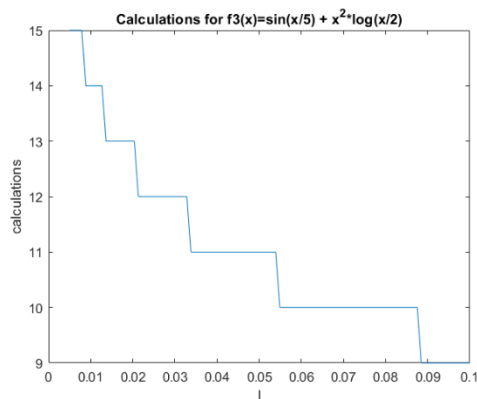
Ακολουθεί από μία γραφική παράσταση από τις τιμές που προκύπτουν από τους υπολογισμούς των 3 αντικειμενικών συναρτήσεων.



Σχήμα 3.1 : Μεταβολή υπολογισμών αντικειμενικής συνάρτησης για την  $f1(x)$ —  $I$ =variable



Σχήμα 3.2 : Μεταβολή υπολογισμών αντικειμενικής συνάρτησης για την  $f2(x)$ —  $I$ =variable



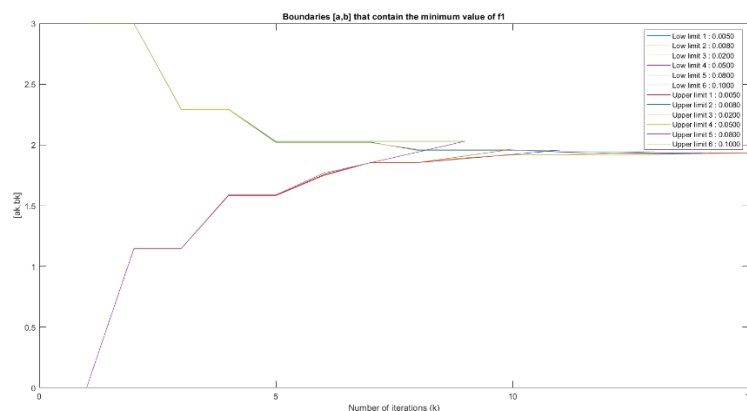
Σχήμα 3.3 : Μεταβολή υπολογισμών αντικειμενικής συνάρτησης για την  $f3(x)$ —  $I$ =variable

### Παρατηρήσεις

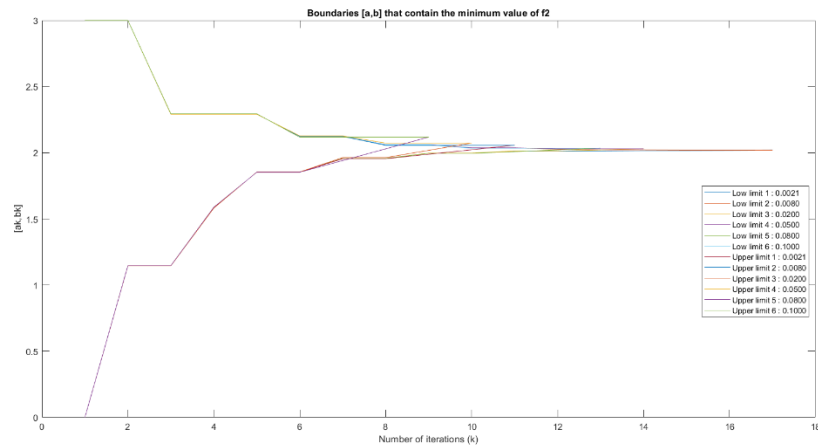
- Η γραφική παράσταση είναι ίδια και για τις τρεις συναρτήσεις . Αυτό έχει νόημα, καθώς και στις τρεις περιπτώσεις έχουμε ίδιες παραμέτρους που επηρεάζουν τους υπολογισμούς της αντικειμενικής συνάρτησης ( $I$  και διάστημα αναζήτησης  $[0,3]$  ).
- Από τις γραφικές παραστάσεις παρατηρούμε πως όσο αυξάνεται το τελικό εύρος διαστήματος  $I$  , τόσο μειώνονται οι κλήσεις της εκάστοτε συνάρτησης  $f(x)$ . Αυτό συμβαίνει επειδή όσο αυξάνουμε το τελικό εύρος διαστήματος  $I$ , τόσα λιγότερα βήματα – διαμερίσεις θα χρειαστούν να γίνουν στο αρχικό διάστημα αναζήτησης ώστε να φτάσουμε σε λύση επιθυμητής ακρίβειας. Ως εκ τούτου, θα έχουμε και λιγότερες κλήσεις της συνάρτησης.

Τέλος ζητήθηκε για διάφορα  $I$  να αποτυπωθούν τα ζεύγη  $[a_k, b_k]$  συναρτήσει του δείκτη  $k$ . Οι τιμές  $I$  που επιλέχθηκαν ήταν οι εξής : 0.005, 0.008, 0.02, 0.05, 0.08, 0.1 ενώ το  $\epsilon$  παρέμεινε σταθερό 0.001 .

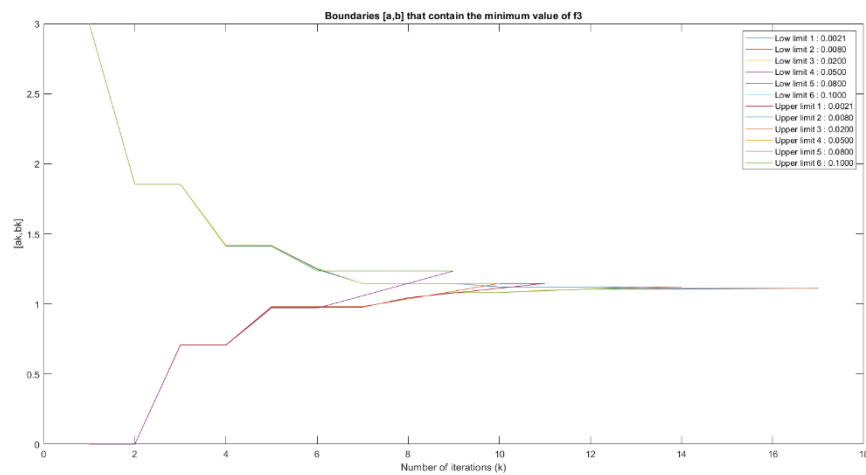
Ακολουθούν τρία διαγράμματα, ένα για κάθε συνάρτηση, που παρουσιάζουν τις γραφικές παραστάσεις  $(k, a_k)$  και  $(k, b_k)$ .



Σχήμα 3.4 : Άκρα του διαστήματος  $[a_k, b_k]$  συναρτήσει του δείκτη βήματος  $k$  για την  $f1(x)$ — various values for  $I$



**Σχήμα 3.5 :** Άκρα του διαστήματος  $[a_k, b_k]$  συναρτήσει του δείκτη βήματος  $k$  για την  $f_2(x)$ — various values for  $l$



**Σχήμα 3.6 :** Άκρα του διαστήματος  $[a_k, b_k]$  συναρτήσει του δείκτη βήματος  $k$  για την  $f_3(x)$ — various values for  $l$

Όπως βλέπουμε στα παραπάνω διαγράμματα, και όπως λογικά περιμέναμε, όσο παραπάνω μειώνεται το εύρος του τελικού διαστήματος  $[a(k), b(k)]$ , χρειάζονται παραπάνω βήματα του αλγορίθμου για να το φτάσουμε. Μετά, από έναν αριθμό επαναλήψεων το διάστημα αυτό μικραίνει κατά πολύ και η μεταβολή δεν διακρίνεται με γυμνό μάτι.

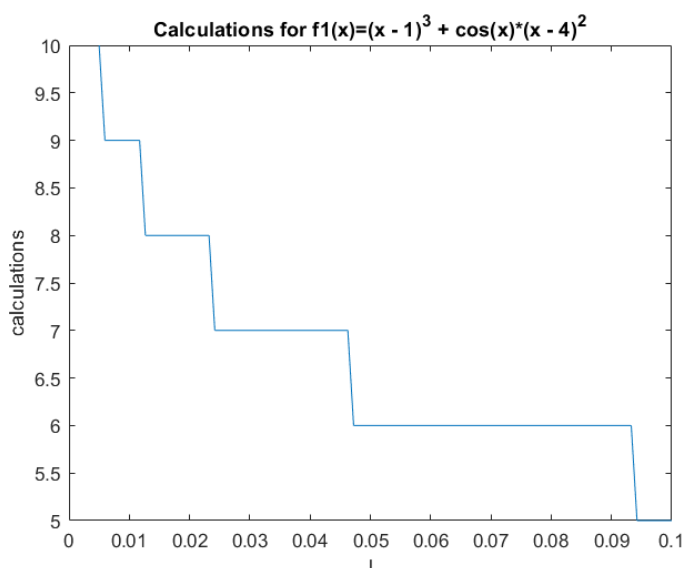
#### 4. Task 4 – Μέθοδος Διχοτόμου με χρήση παραγώγου.

Στην μέθοδο αυτή υπάρχουν μια παράμετρος το  $I$  (το εύρος του διαστήματος αναζήτησης, δεν υπάρχει το  $e$ ).

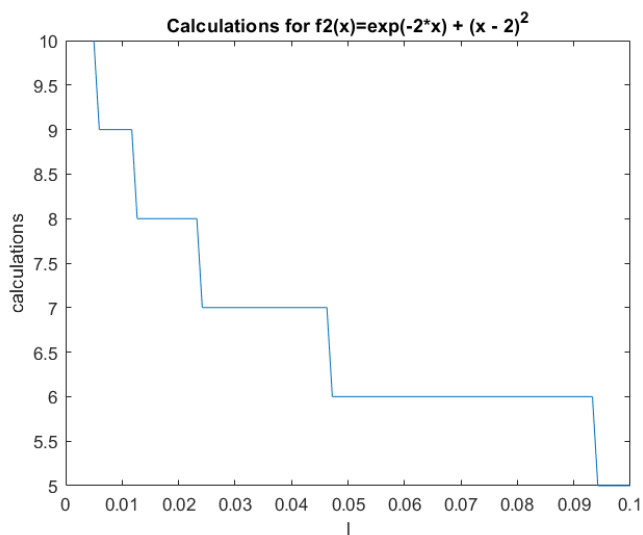
Στο πρώτο ερώτημα ζητείται να υλοποιηθεί στο MATLAB ο αλγόριθμος για την μέθοδο του χρυσού τομέα και να εφαρμοστεί στις 3 συναρτήσεις. Ο κώδικας στο σύνολο του περιέχεται στα αρχεία **derivativeSelector.m** **derivativeMethod.m** και **Task4.m**.

Αρχικά, μελετάται ο αριθμός των υπολογισμών της αντικειμενικής συνάρτησης  $f$  για διάφορες τιμές του τελικού εύρους διαστήματος  $I$ . Το τελικό εύρος διαστήματος  $I$  μεταβάλλεται από 0.005 μέχρι 0.1. Αυτό γίνεται και για τις 3 συναρτήσεις της εκφώνησης.

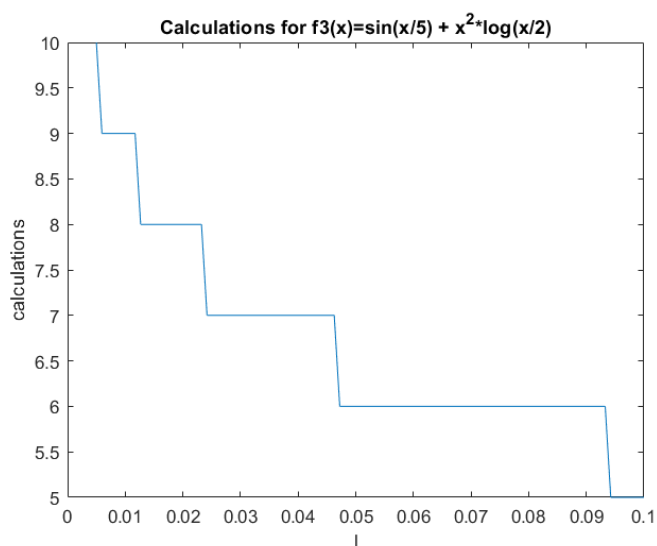
Ακολουθεί από μία γραφική παράσταση από τις τιμές που προκύπτουν από τους υπολογισμούς των 3 αντικειμενικών συναρτήσεων.



Σχήμα 4.1 : Μεταβολή υπολογισμών αντικειμενικής συνάρτησης για την  $f1(x)$ —  $I$ =variable



Σχήμα 4.2 : Μεταβολή υπολογισμών αντικειμενικής συνάρτησης για την  $f_2(x)$ —  $I$  =variable



Σχήμα 4.3 : Μεταβολή υπολογισμών αντικειμενικής συνάρτησης για την  $f_3(x)$ —  $I$  =variable

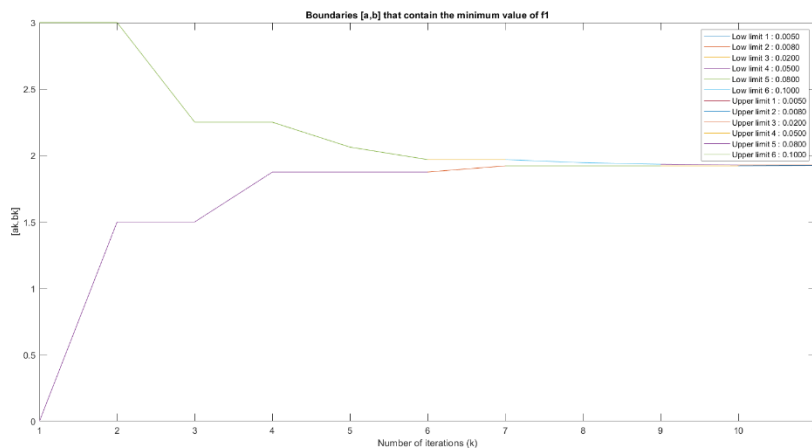


### Παρατηρήσεις

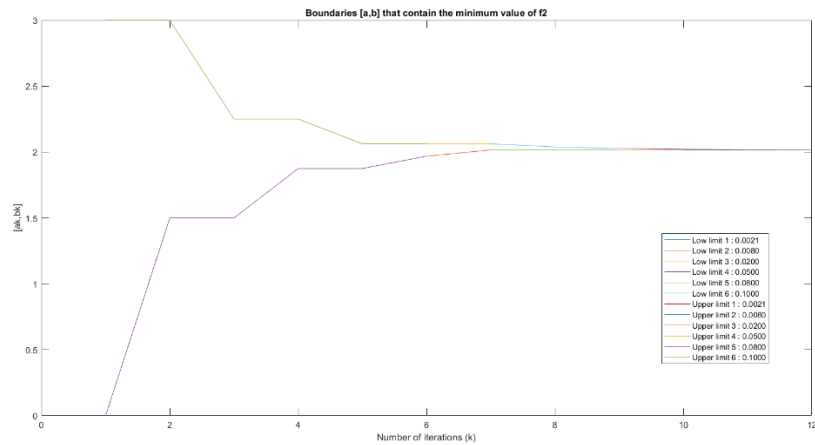
- Η γραφική παράσταση είναι ίδια και για τις τρεις συναρτήσεις . Αυτό έχει νόημα, καθώς και στις τρεις περιπτώσεις έχουμε ίδιες παραμέτρους που επηρεάζουν τους υπολογισμούς της αντικειμενικής συνάρτησης ( $I$  και διάστημα αναζήτησης  $[0,3]$  ).
- Από τις γραφικές παραστάσεις παρατηρούμε πως όσο αυξάνεται το τελικό εύρος διαστήματος  $I$  , τόσο μειώνονται οι κλήσεις της εκάστοτε συνάρτησης  $f(x)$ . Αυτό συμβαίνει επειδή όσο αυξάνουμε το τελικό εύρος διαστήματος  $I$ , τόσα λιγότερα βήματα – διαμερίσεις θα χρειαστούν να γίνουν στο αρχικό διάστημα αναζήτησης ώστε να φτάσουμε σε λύση επιθυμητής ακρίβειας. Ως εκ τούτου, θα έχουμε και λιγότερες κλήσεις της συνάρτησης.

Τέλος ζητήθηκε για διάφορα  $I$  να αποτυπωθούν τα ζεύγη  $[a_k, b_k]$  συναρτήσει του δείκτη  $k$ . Οι τιμές  $I$  που επιλέχθηκαν ήταν οι εξής : 0.005, 0.008, 0.02, 0.05, 0.08, 0.1 ενώ το  $\epsilon$  παρέμεινε σταθερό 0.001 .

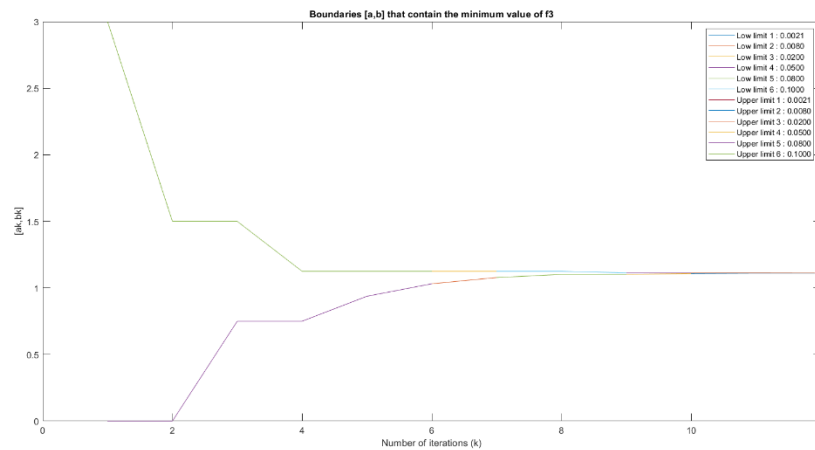
Ακολουθούν τρία διαγράμματα, ένα για κάθε συνάρτηση, που παρουσιάζουν τις γραφικές παραστάσεις  $(k, a_k)$  και  $(k, b_k)$ .



**Σχήμα 4.4 :** Άκρα του διαστήματος  $[a_k, b_k]$  συναρτήσει του δείκτη βήματος  $k$  για την  $f_1(x)$ — various values for  $I$



**Σχήμα 4.5 :** Άκρα του διαστήματος  $[a_k, b_k]$  συναρτήσει του δείκτη βήματος  $k$  για την  $f2(x)$ — various values for  $l$

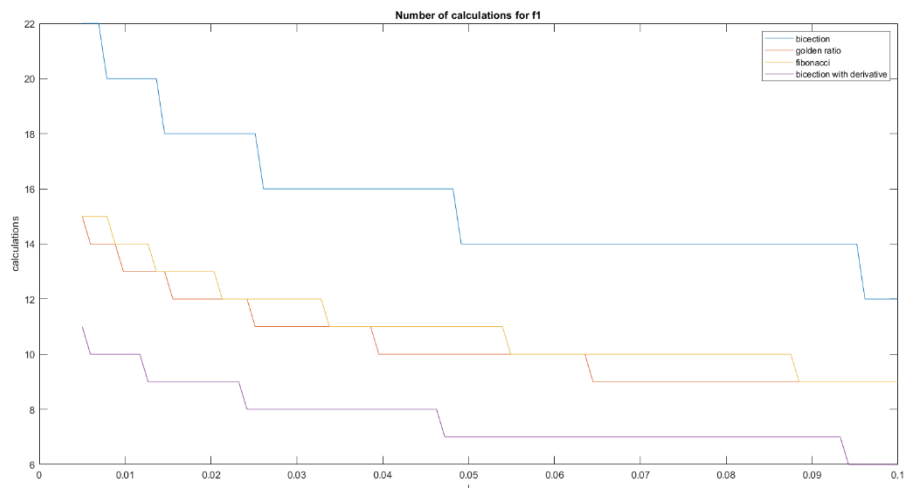


**Σχήμα 4.6 :** Άκρα του διαστήματος  $[a_k, b_k]$  συναρτήσει του δείκτη βήματος  $k$  για την  $f3(x)$ — various values for  $l$

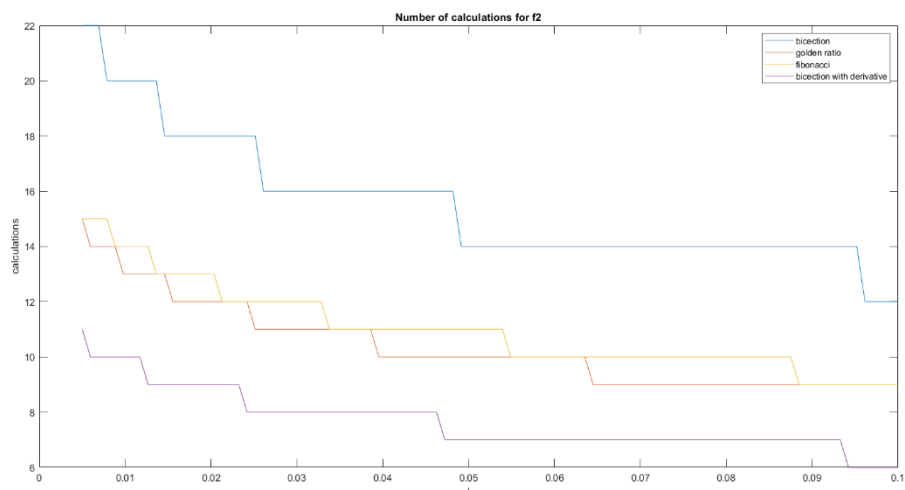
Όπως βλέπουμε στα παραπάνω διαγράμματα, και όπως λογικά περιμέναμε, όσο παραπάνω μειώνεται το εύρος του τελικού διαστήματος  $[a(k), b(k)]$ , χρειάζονται παραπάνω βήματα του αλγορίθμου για να το φτάσουμε. Μετά, από έναν αριθμό επαναλήψεων το διάστημα αυτό μικραίνει κατά πολύ και η μεταβολή δεν διακρίνεται με γυμνό μάτι.

## 5. Συγκριτικά Αποτελέσματα

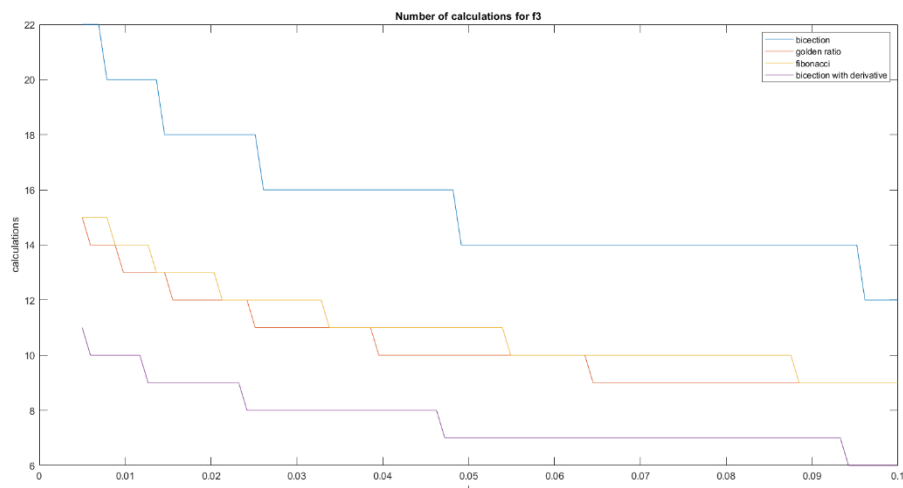
Παρατίθενται τα ακόλουθα διαγράμματα για καθεμιά από τις 3 συναρτήσεις που συγκρίνουν τον αριθμό των υπολογισμών της αντικειμενικής συνάρτησης για καθεμιά από τις τέσσερις μεθόδους που μελετήθηκαν.



Σχήμα 5.1 : Αριθμός υπολογισμών για την  $f1(x)$  και με τις 4 μεθόδους



Σχήμα 5.2 : Αριθμός υπολογισμών για την  $f2(x)$  και με τις 4 μεθόδους



Σχήμα 5.3 : Αριθμός υπολογισμών για την  $f_1(x)$  και με τις 4 μεθόδους

Παρατηρείται πως διαφέρουν οι υπολογισμοί της αντικειμενικής συνάρτησης από αλγόριθμο σε αλγόριθμο. Οι λιγότερες κλήσεις έγιναν, όπως ήταν και αναμενόμενο, στην μέθοδο της διχοτόμου με χρήση παραγώγου. Ακολουθεί η μέθοδος του χρυσού τομέα, μετά η μέθοδος Fibonacci. Τέλος, την χειρότερη επίδοση έχει η απλή μέθοδος της διχοτόμου. Παρατηρούμε ότι η σειρά αποδοτικότητας των μεθόδων χωρίς την χρήση παραγώγων (μέθοδος της διχοτόμου, μέθοδος του χρυσού τομέα και μέθοδος Fibonacci) πειραματικά επιβεβαιώνει την θεωρία (από την λιγότερο προς περισσότερο αποδοτική: διχοτόμος, χρυσός τομέας, Fibonacci). Επιπλέον, φαίνεται η μέθοδος του χρυσού τομέα τείνει να ταυτιστεί με την μέθοδο Fibonacci, όσον αφορά τον αριθμό υπολογισμών της αντικειμενικής συνάρτησης.

Όσον αφορά το πόσες κλήσεις τις  $f(x)$  πραγματοποιεί ο κάθε αλγόριθμος, έχουμε ότι:

- ο αλγόριθμος διχοτόμησης καλεί δύο φορές την συνάρτηση  $f(x)$  σε κάθε βήμα,
- οι αλγόριθμοι Χρυσού Τομέα και Fibonacci καλούν την  $f(x)$   $[2 + (k-1)]$  φορές (δύο κλήσεις κατά το πρώτο βήμα για να υπολογιστούν τα αρχικά  $f(x_1)$  και  $f(x_2)$  και μία κλήση κάθε επόμενο βήμα μέχρι το τέλος),
- ενώ τέλος ο αλγόριθμος διχοτόμησης με χρήση παραγώγου καλεί την συνάρτηση  $f(x)$   $k$  φορές.